

Динамика и квантовые флуктуации излучения в нестационарных режимах работы волоконного ВКР-усилителя

Л.А.Мельников, Ю.А.Мажирин

Представлены результаты численного моделирования динамики излучения в волоконном ВКР-усилителе с учетом квантовых флуктуаций полей накачки и стоковых волн. При моделировании использовался подход, основанный на решениях уравнений переноса для комплексных амплитуд и метод «обратного» распространения для операторов, описывающих квантовые флуктуации. Показано, что существует оптимальная длина ВКР-усилителя, соответствующая минимуму уровня флуктуаций усиленного стокового импульса.

Ключевые слова: вынужденное комбинационное рассеяние, встречные волны, уравнения переноса, квантовые флуктуации, метод возмущений.

1. Введение

Динамика волоконных лазеров и усилителей изучается давно, и во многом эти исследования были стимулированы новыми экспериментальными результатами и возможностями, которые предоставляли новые типы волокон и лазерных систем. Важным направлением всегда являлось изучение динамики излучения в волоконных лазерах, где используется ВКР- или ВРМБ-преобразование накачки [1]. В отличие от лазеров на основе активированных волокон, в ВКР- или ВРМБ-лазерах генерация возможна даже в отсутствие обратной связи в резонаторе (на одном проходе), т.к. коэффициенты ВРМБ- и ВКР-усиления велики даже при умеренных мощностях накачки, а потери в волокне незначительны. Основные динамические явления в волоконных ВКР- или ВРМБ-лазерах с линейной несимметричной конфигурацией (волокно, возбуждаемое с одного торца) связаны с релаксационными колебаниями, появляющимися в результате действия волны, распространяющейся навстречу волне накачки при ВРМБ, или стоковой волны, распространяющейся в попутном с накачкой направлении при ВКР [2–5]. Обычно эти колебания происходят с периодом, равным времени обхода резонатора, длина которого либо совпадает с длиной волокна, либо меньше ее из-за поглощения накачки. Тогда их период определяется временем прохождения излучением некоторой эффективной длины [2]. При этом дисперсия волокна обычно не учитывается, т.к. длительности импульсов достаточно велики.

Существенно то, что уравнения, описывающие генерацию, являются уравнениями в частных производных, которые нельзя свести к системе обыкновенных дифференциальных уравнений малой размерности. Поэтому

аналитические результаты можно получить только при достаточно жестких и часто неоправдывающихся в эксперименте приближениях [3]. По этой причине при анализе динамических явлений большую роль играет численный эксперимент [1, 2, 5]. При традиционном подходе уравнения дополняются граничными условиями на торцах волокна – так называемая двухточечная граничная задача, методы интегрирования которой достаточно сложны. В ней часто используются многократные прогонки по длине волокна для удовлетворения граничных условий. Все это требует большого времени для расчетов и изучения сходимости процедур последовательных приближений.

ВКР-лазеры на основе длинных (десятки и сотни километров) волокон нашли применение в телекоммуникационных системах в качестве распределенных усилителей [6]. Кольцевые конфигурации длинных волоконных лазеров представляют особый интерес, т.к. на их основе можно создавать оптические гироскопические устройства. При этом длинное волокно позволяет создать резонатор с большим масштабным коэффициентом, связывающим набег фазы из-за вращения или разность частот встречных волн с угловой скоростью вращения [7]: $\Delta\omega = \Delta\nu \times 8\pi S/(c\lambda)$, где S – площадь волоконного контура; λ – длина волны генерации; $\Delta\nu = 2\pi v_g/L$ – частотное расстояние между продольными модами кольцевого резонатора; L – периметр резонатора; $v_g = (d\beta/d\omega)^{-1}$ – групповая скорость; β – постоянная распространения на частоте генерации. Видно, что при малых групповых скоростях масштабный множитель становится очень большим [8].

В обычных кольцевых лазерах вследствие амплитудно-фазовых условий генерации линейная связь встречных волн приводит при малых разностях их частот к захвату частот, препятствующему измерению малых скоростей вращения, когда частота биений сравнивается с шириной зоны захвата. Ширина этой зоны оценивается как Rc/L , где c/L – межмодовый интервал, а R – коэффициент связи встречных волн, который в газовых лазерах составляет 10^{-5} – 10^{-6} . В оптических волокнах из-за рэлеевского рассеяния этот коэффициент равен $\sim 10^{-4}$ км⁻¹. Однако, как уже отмечалось, ВКР-генерация не так чувствительна к фазовым соотношениям для поля в резонаторе, поэтому

Л.А.Мельников, Ю.А.Мажирин. Саратовский государственный технический университет им. Гагарина Ю.А., Россия, 410054 Саратов, ул. Политехническая, 77; Институт общей физики им. А.М.Прохорова РАН, Россия, 119991 Москва, ул. Вавилова, 38; e-mail: lam-pels@ya.ru

можно надеяться на получение информации об угловой скорости вращения даже при таком большом коэффициенте обратного рассеяния.

В последнее время опубликованы работы по исследованию динамики излучения в длинных волоконных лазерах, стимулированные появлением концепции случайной обратной связи в оптическом волокне [9–12], когда генерация может происходить практически на одном проходе в отсутствие зеркал при симметричном возбуждении волокна [5, 13]. Роль рэлеевского рассеяния и спонтанного комбинационного рассеяния заключается в создании затравочных полей для ВКР, что дает возможность развиваться различным неустойчивостям.

Достаточно большой круг задач связан с изучением динамики коротких импульсов излучения в длинных волоконных лазерах. Совсем недавно появился ряд работ, в которых получена синхронизация мод в волоконном лазере с использованием элементов резонатора с существенно различающейся дисперсией. Это позволяет получить режимы, обусловленные неустойчивостями, напоминающими фарадеевские (параметрические) неустойчивости [14, 15]. Режимы распространения коротких (пикосекундных) световых импульсов в волокнах с периодически изменяющейся по длине дисперсией интересны также для создания запутанных солитоноподобных импульсов [16]. Известно, что распространение волн с постоянной интенсивностью в оптических волокнах сопровождается неустойчивостью при отрицательной дисперсии групповой скорости [1]. Однако похожие неустойчивости наблюдаются при встречном распространении волн и фазовой кросс-модуляции даже при положительной дисперсии групповой скорости. Модуляция параметров дисперсии волокна также может привести к неустойчивости параметрического типа [5, 17].

Для изучения процессов, происходящих в длинных волоконных лазерах, и построения адекватных физических моделей этих процессов удобно рассматривать упрощенные конфигурации, что и делается в настоящей работе. Кроме того, при численном моделировании решались уравнения переноса для амплитуд полей встречных волн с использованием сеточных методов и алгоритма Куранта–Изааксона–Рис [18]. Это позволило исследовать динамику излучения в лазере на большом числе проходов по волокну без применения итерационных алгоритмов [5, 13].

2. Квантовые уравнения для волоконного ВКР-усилителя

2.1. Уравнения для полей

Будем использовать разложения полей по бегущим волнам:

$$E_X(x, y, z, t) = \frac{1}{2} e^{\psi(x, y)} \exp(i\beta_0 z - i\omega_0 t) \mathcal{E}_X(z, t) + \text{c. c.},$$

$$\begin{aligned} \mathcal{E}_X(z, t) &= \exp[i\beta_0 z - i\omega(\beta_0) t] \\ &\times \sum_{k=-\infty}^{\infty} X_k \exp[i(\beta_k - \beta_0) z - i(\omega_k - \omega_0) t] \\ &= \int_{-\infty}^{\infty} \frac{d\eta}{2\pi} X(\eta) \exp\{i(\eta - \beta_0) z - i[\omega(\eta + \beta_0) - \omega_0] t\}. \end{aligned} \quad (1)$$

Здесь e – единичный вектор поляризации волны; $\psi(x, y)$ – модовая функция [19]; β – постоянная распространения основной моды; $\omega_0 = \omega(\beta_0)$ – частота несущей поля при $\beta = \beta_0$; $\beta_k = \beta_0 + 2\pi v_X k/L$; v_X – фазовая скорость; L – длина волокна; $\eta = \beta - \beta_0$; $X(\eta)$ – фурье-амплитуда пространственного спектра; $X = F, B, F_s, B_s$; F, B – амплитуды волн накачки (амплитуда F соответствует волнам, распространяющимся по оси z , амплитуда B – встречным волнам); F_s, B_s – амплитуды стоксовых волн. Для длинного волокна вместо суммирования используется интегрирование. Заменим классическое поле квантовым и нормируем амплитуды на поле, соответствующее одному кванту в объеме V , который оно занимает [20], тогда получим

$$\hat{\mathcal{E}}_X(z, t) = \sqrt{\frac{\hbar\omega_0}{\epsilon_0 \epsilon V}} [\hat{X}(z, t) + \hat{X}^\dagger(z, t)],$$

где $\hat{X}(z, t)$ и $\hat{X}^\dagger(z, t)$ – операторы уничтожения и рождения поля, являющиеся в силу (1) суперпозицией операторов рождения и уничтожения отдельных продольных мод (бегущих волн): ϵ и ϵ_0 – диэлектрические проницаемости волокна и вакуума соответственно. Для этих операторов выполняются обычные коммутационные соотношения:

$$[\hat{X}(z, t) \hat{X}^\dagger(z', t')] = \delta(t - t') \delta(z - z').$$

Уравнения для операторов полей стоксовых волн и волн накачки при достаточно длинных импульсах, для которых дисперсию можно не учитывать, взяты из работы [13] с соответствующей заменой амплитуд огибающих полей на операторы:

$$\frac{\partial \hat{F}}{\partial t} + v_g \frac{\partial \hat{F}}{\partial z} = -g(\hat{F}_s^\dagger \hat{F}_s + \hat{B}_s^\dagger \hat{B}_s) \hat{F} - \gamma F + \hat{N}_F, \quad (2)$$

$$\frac{\partial \hat{B}}{\partial t} - v_g \frac{\partial \hat{B}}{\partial z} = -g(\hat{F}_s^\dagger \hat{F}_s + \hat{B}_s^\dagger \hat{B}_s) \hat{B} - \gamma B + \hat{N}_B, \quad (3)$$

$$\frac{\partial \hat{F}_s}{\partial t} + v_{gs} \frac{\partial \hat{F}_s}{\partial z} = g_s(\hat{F}_s^\dagger \hat{F} + \hat{B}_s^\dagger \hat{B}) \hat{F}_s - \gamma_s \hat{F}_s + \hat{N}_{F_s}, \quad (4)$$

$$\frac{\partial \hat{B}_s}{\partial t} + v_{gs} \frac{\partial \hat{B}_s}{\partial z} = g_s(\hat{F}^\dagger \hat{F} + \hat{B}_s^\dagger \hat{B}) \hat{B}_s - \gamma_s \hat{B}_s + \hat{N}_{B_s}, \quad (5)$$

где g_s – коэффициент усиления стоксовых волн; $g = g_s \omega_p / \omega_s$; ω_p и ω_s – частоты волны накачки и стоксовой волны; γ и γ_s – коэффициенты потерь на частотах накачки и стоксовой волны; v_g и v_{gs} – групповые скорости волны накачки и стоксовой волны; \hat{N}_X – источники флуктуаций, связанные с потерями в среде, потерями на зеркалах и ВКР-усилением.

2.2. Метод «обратного» распространения

Решение системы уравнений (2)–(5) для операторов поля представляет собой довольно сложную задачу, т.к. размерность пространства, в котором действует оператор, весьма велика и определяется числом продольных мод и числом квантов в каждой моде. Существует метод, основанный на представлении операторов поля в виде суммы «классической» и квантовых частей, причем квантовая часть рассматривается как малое возмущение [21]. Этот метод успешно применялся в работах по изучению квантовых флуктуаций при распространении оптических

солитонов [22–24] и при решении близких задач, которые сводятся к анализу распространения коротких световых импульсов в нелинейных средах с керровской нелинейностью, дисперсией, усилением и потерями [25, 26]. Характерная особенность этих задач – распространение импульсов (одного или нескольких) в одном направлении. Это позволяет ввести систему координат, бегущую вместе с импульсом $(z, t - z/v_g)$, и в качестве эволюционной переменной использовать координату z . Поскольку в волоконном лазере с зеркалами на торцах собственными продольными модами служат стоячие волны (или пара встречных бегущих волн, связанных через отражения на зеркалах), то в качестве эволюционной переменной удобно выбрать время t . При этом производные по z не исключаются при замене времени t текущим временем импульса, а также существенными являются граничные условия. Дополнительная сложность – наличие четырех связанных волн, квантовые операторы которых действуют на различные векторы состояний. Поэтому схема с обратным распространением должна быть изменена соответствующим образом.

Согласно результатам работ [21, 24], необходимо выделить в каждом операторе полей $\hat{X}(z, t)$ классическое поле $X(z, t)$ и оператор возмущения $\hat{u}_X(z, t)$: $\hat{X} = X + \hat{u}_X$, причем все квантовые свойства описываются \hat{u}_X . При условии малости возмущения $\int dz X^* X \gg \langle |\hat{u}_X^\dagger \hat{u}_X| \rangle$ можно перейти к уравнениям для возмущений $\hat{f}, \hat{b}, \hat{f}_s, \hat{b}_s$, в которых следует заменить \hat{X} классическими полями X . Эти классические поля подчиняются уравнениям (2)–(5), где убраны символы операторов и нет источников шумов. Граничные условия можно записать отдельно для линейного и кольцевого резонаторов.

2.3. Линейный резонатор

Предположим, что отрезок волокна длиной L возбуждается слева и справа и на правом и левом концах возможно отражение волн (стоксовых). Тогда

$$F_s(0, t) = \sqrt{R_{\text{left}}} B_s(0, t), \quad B_s(L, t) = \sqrt{R_{\text{right}}} F_s(L, t), \quad (6)$$

$$F(0, t) = \sqrt{R_{\text{left}}} B(0, t) + \sqrt{W_{\text{left}}(t)}, \quad (7)$$

$$B(L, t) = \sqrt{R_{\text{right}}} F(L, t) + \sqrt{W_{\text{right}}(t)}.$$

Здесь R_{left} и R_{right} – коэффициенты отражения по мощности на левом и правом концах волокна соответственно; W_{left} и W_{right} – мощности накачки; β и β_s – постоянные распространения для волн накачки и стоксовых волн.

2.4. Кольцевой резонатор

Предположим, что отрезок волокна длиной L свернут в кольцо и через WDM-ответвитель возбуждается волнами, распространяющимися в кольце по часовой стрелке (волна F) и против нее (волна B). Предположим также, что ответвитель не идеальный, что приводит к связи встречных стоксовых волн, а на частоте накачки отражений нет. Тогда

$$F_s(0, t) = \sqrt{R} B_s(0, t) + \sqrt{1 - R} F_s(L, t),$$

$$B_s(L, t) = -\sqrt{R} F_s(L, t) + \sqrt{1 - R} B_s(0, t), \quad (8)$$

$$F(0, t) = F(L, t) + \sqrt{W_{\text{left}}(t)}, \quad B(L, t) = B(0, t) + \sqrt{W_{\text{right}}(t)}.$$

Для операторов $\hat{f}, \hat{b}, \hat{f}_s, \hat{b}_s$ граничные условия те же. Для этих операторов получаются линейные уравнения, которые можно записать в компактном виде:

$$\frac{\partial \hat{u}}{\partial t} = \hat{P} \hat{u} + \hat{Q} \hat{u}^\dagger + \hat{N}, \quad (9)$$

где

$$\hat{u} = \begin{pmatrix} \hat{f} \\ \hat{b} \\ \hat{f}_s \\ \hat{b}_s \end{pmatrix}; \quad P_s = |F_s|^2 + |B_s|^2, \quad P = |F|^2 + |B|^2; \quad \hat{P} = \begin{pmatrix} -v_g \frac{\partial}{\partial z} - \gamma - gP_s & 0 & -gFF_s^* & -g_sFB_s^* \\ 0 & v_g \frac{\partial}{\partial z} - \gamma - gP_s & -gBF_s^* & -g_sBB_s^* \\ g_sF^*F_s & gB^*F_s & -v_{gs} \frac{\partial}{\partial z} - \gamma_s + gP & 0 \\ g_sF^*B_s & gB^*B_s & 0 & v_{gs} \frac{\partial}{\partial z} - \gamma_s + gP \end{pmatrix};$$

$$\hat{Q} = \begin{pmatrix} 0 & 0 & -gFF_s & -g_sFB_s \\ 0 & 0 & -gBF_s & -g_sBB_s \\ gFF_s & g_sBF_s & 0 & 0 \\ gFB_s & g_sBB_s & 0 & 0 \end{pmatrix}; \quad \hat{N} = \begin{pmatrix} \hat{N}_F \\ \hat{N}_B \\ \hat{N}_{F_s} \\ \hat{N}_{B_s} \end{pmatrix}.$$

Отметим, что вследствие граничных условий между операторами \hat{f}, \hat{b} и \hat{f}_s, \hat{b}_s существует линейная связь. Матрица \hat{P} – антиэрмитова, а \hat{Q} – антисимметрична.

Для выполнения стандартных коммутационных соотношений для операторов, как обычно [20, 21], нужно ввести ограничение на источники шума. Следуя [21], нетрудно получить выражения

$$[\hat{N}_X(t, z_1), \hat{N}_Y^\dagger(t', z_2)] = M_X(t, z_1, z_2) \delta(t - t') \delta_{XY},$$

$$[\hat{N}_X(t, z_1), \hat{N}_X^\dagger(t', z_2)] = [\hat{N}_X^\dagger(t, z_1), \hat{N}_X^\dagger(t', z_2)] = 0,$$

$$[\hat{N}_X(t, z_1), \hat{N}_Y(t', z_2)] = [\hat{N}_X^\dagger(t, z_1), \hat{N}_Y^\dagger(t', z_2)] = 0, \quad (10)$$

$$M_X(t, z_1, z_2) = -[\hat{P}(t, z_1) - \hat{P}^*(t, z_2)]_{XX} \delta(z_1 - z_2),$$

$$X, Y = F, B, F_s, B_s.$$

Кроме коммутаторов, для расчета квантовых флуктуаций нужно знать корреляционные функции

$$\langle \hat{N}_X(t_1, z_1) \hat{N}_Y^\dagger(t_2, z_2) \rangle, \quad \langle \hat{N}_X(t_1, z_1) \hat{N}_Y(t_2, z_2) \rangle,$$

$$\langle \hat{N}_X^\dagger(t_1, z_1) \hat{N}_Y(t_2, z_2) \rangle, \quad \langle \hat{N}_X^\dagger(t_1, z_1) \hat{N}_Y^\dagger(t_2, z_2) \rangle,$$

которые можно определить, если есть информация о физической природе шумов в рассматриваемой задаче. На-

пример, для внутриимпульсного ВКР источники шума рассчитаны в [21].

Измеряемые в момент времени $t = T$ квантово-механические средние значения могут быть привязаны к определенной точке волокна или усреднены по всей его длине либо по выбранному отрезку. В этих случаях необходимо будет вычислять скалярные произведения вида

$$\{\mathcal{F} | u_X\} = \frac{1}{2} \int_0^L dz [\mathcal{F}^*(z, T) \hat{u}_X(z, T) + \mathcal{F}(z, T) \hat{u}_X^\dagger(z, T)], \quad (11)$$

где $\mathcal{F}(z, T)$ характеризует пространственную фильтрацию в процессе измерений, причем предполагается, что эта функция нормирована. Например, оператор числа квантов в волне X есть

$$\hat{X}^\dagger \hat{X} = X(z, T) X^*(z, T) + [X(z, T) \hat{u}_X^\dagger(z, T) + \text{h.c.}].$$

Отсюда следует, что нужно взять $\mathcal{F}(z, T) = X(z, T)$.

Для проведения квантово-механических усреднений будем использовать когерентные состояния, соответствующие классическим состояниям $X(z, t)$, смещенным на амплитуду классического поля [24]. Таким образом получается многомодовое вакуумное состояние $|0_X\rangle$, для которого $\langle 0_X | \hat{u}_X(z, t) | 0_X \rangle = 0$. В то же время квантово-механическое среднее значение поля равно его классической части, а среднее число квантов

$$\langle n_X \rangle = \int_0^L dz |X(z, t)|^2.$$

Для существенного упрощения вычислений интегралов вида (11) можно ввести сопряженный оператор [21, 27], используя определение

$$\{\tilde{F} | \hat{P}\hat{u}\} + \{\tilde{F} | \hat{Q}\hat{u}^\dagger\} = \{\hat{P}^A \tilde{F} | \hat{u}\} + \{\hat{Q}^A \tilde{F} | \hat{u}^\dagger\},$$

где \tilde{F} – диагональная матрица с элементами главной диагонали $\mathcal{F}_f, \mathcal{F}_b, \mathcal{F}_f^*, \mathcal{F}_b^*$. Тогда вместо решения операторного уравнения (9) со стохастическим источником необходимо решать уравнение для матрицы \tilde{F} :

$$\frac{\partial \tilde{F}}{\partial t} = \hat{P}^A \tilde{F} + \hat{Q}^A \tilde{F}^*. \quad (12)$$

При этом начальное условие для нее задано при $t = T$, но ее значения должны быть известны начиная с $t = 0$, т.к. они нужны для вычисления квантовых поправок. Следовательно, это уравнение необходимо решать в обратном по t направлении. При нахождении выражений для сопряженного оператора можно использовать интегрирование по частям. Нетрудно получить, что $\hat{P}^A = \hat{P}$ с одно-временной заменой знаков у производных по z и $\hat{Q}^A = -\hat{Q}$, причем нужно выбирать $\mathcal{F}_X(0, T) = \mathcal{F}_X(L, T) = 0$. В силу определенной произвольности выбора функций это сделать нетрудно. При таком выборе сопряженного оператора, если F удовлетворяет уравнению (12), выполняется условие

$$\frac{\partial}{\partial t} \{\tilde{F}(z, t) \hat{u}(z, t)\} = 0.$$

Из него следует выражение для измеряемых средних:

$$\frac{\partial}{\partial t} \{\mathcal{F}_X | \hat{u}_X\} = \{\mathcal{F}_X | \hat{N}_X\}. \quad (13)$$

Это дает соотношение

$$\begin{aligned} \{\mathcal{F}_X(z, T) | \hat{u}_X(z, T)\} &= \{\mathcal{F}_X(z, 0) | \hat{u}_X(z, 0)\} \\ &+ \int_0^T dt \{\mathcal{F}_X(z, t) | \hat{N}_X(z, t)\}. \end{aligned} \quad (14)$$

С помощью (13), (14) можно получить все необходимые для вычисления квантовых флуктуаций выражения, аналогичные полученным в [21]:

$$\begin{aligned} \langle \Delta n_X^2 \rangle |_{t=T} &= \langle \Delta n_X^2(z, 0) \rangle |_{t=0} + \frac{1}{4} \int_0^T \int_0^T \int_0^L \int_0^L dt_1 dt_2 dz_1 dz_2 \\ &\times [\mathcal{F}_{1X}^* \mathcal{F}_{2X}^* \langle N_{1X} N_{2X} \rangle + \mathcal{F}_{1X} \mathcal{F}_{2X} \langle N_{1X}^\dagger N_{2X}^\dagger \rangle] + \text{h.c.} \end{aligned} \quad (15)$$

Здесь индексами 1 и 2 в подынтегральном выражении отмечены аргументы z_1, t_1 и z_2, t_2 , а выражения для \mathcal{F} соответствуют нормированным классическим амплитудам поля. Например

$$\mathcal{F}_f(z, T) = \frac{F(z, T)}{\sqrt{\int dz |F(z, T)|^2}}.$$

3. Метод интегрирования

Аналитических решений уравнений для классических полей в общем случае нет, поэтому в работе применялось численное моделирование для расчета как классической части поля, так и квантовых неопределенностей (15). В расчетах удобно использовать нормированные координаты $Z = z/L$ и $T = tv_g/L$, а также нормировать амплитуды на \sqrt{W} . Тогда в уравнениях появляются безразмерные линейные усиление и поглощение: $gL, \gamma L, \gamma_s L$.

Уравнения (2)–(5) представляют собой уравнения переноса: $(\partial/\partial t \pm \partial/\partial z) U(z, t) = V(z, t)$ (знак «+» относится к волне, распространяющейся в положительном направлении, знак «–» – в отрицательном), которые удобно интегрировать численно с использованием схемы Куранта–Изааксона–Рис [18]:

$$U(z, t) \rightarrow U(z_m, t_n) = U_{mn},$$

$$z_m - z_{m-1} = dz, \quad t_n - t_{n-1} = dt, \quad \sigma = dt/dz, \quad \sigma \leq 1,$$

$$U_{m n+1} = (1 - \sigma) U_{mn} + \sigma U_{m \pm 1 n} + V_{mn} dt.$$

4. Результаты расчетов

При проведении численных расчетов использовались следующие параметры: $g_s = 0.6 \text{ км}^{-1} \cdot \text{Вт}^{-1}$, $\gamma = 0.055 \text{ км}^{-1}$, $\gamma_s = 0.046 \text{ км}^{-1}$, $L = 22.5 \text{ км}$ [13]. При такой длине волокна и умеренных интенсивностях накачки, не превышающих порога возникновения стоксовых волн второго порядка, можно достичь значений $g_s P/\gamma$, примерно равных 100. Также можно получить режимы, в которых излучение накачки практически полностью поглощается в волокне и, кроме того, указанная длина волокна соответствует использованной в эксперименте [13]. При меньших длинах волокна для появления релаксационных колебаний [2] необходимы большие интенсивности накачки. При больших

длинах волокна наблюдаемые режимы качественно подобны режимам при $L = 22.5$ км. Поскольку спонтанное комбинационное рассеяние существенно только в областях, где интенсивности стоксовых волн малы (т.е. на концах волокна), то его вклад моделировался подсветкой с мощностью 10^{-5} Вт соответствующих торцов: для волны F – левого торца волокна, для волны B – правого. Было проверено, что вариации подсветки на этом уровне мощности не влияют на динамику системы. Также было обнаружено, что рассеяние $\sim 10^{-4}$ км $^{-1}$ не влияет существенно на динамику и влияние рассеяния аналогично влиянию подсветки. Поэтому рассеяние не учитывалось. В то же время существенным для динамики оказывается наличие отражений на торцах волокна. Во-первых, если излучение накачки не полностью поглотилось на длине волокна, то появляются отраженная волна накачки и соответствующее ей усиление на встречной волне. Во-вторых, интенсивность отраженной от торца стоксовой волны может превышать интенсивность подсветки, что существенно для развития релаксационных колебаний.

Предполагалось, что при $t = 0$ происходит мгновенное включение поля накачки. Волна накачки распространяется вдоль оси z . Вместе с ней распространяется, непрерывно усиливаясь, стоксова попутная волна. В тех местах, до которых дошла волна накачки, появляется встречная стоксова волна. Обе стоксовы волны источают на-

качку. Переходный процесс продолжается в течение ~ 10 проходов по волокну.

Поскольку характерные времена и пространственные масштабы изменения полей в длинных волокнах (порядка 1 км и более) с накачкой излучением с постоянной интенсивностью на входе в волокно лежат в диапазонах микросекунд и сотен метров, то дисперсией можно пренебречь.

4.1. Частный случай. ВКР-усилитель

Рассмотрим упрощенную ситуацию, когда в волокно длиной L вводятся импульсы накачки и импульс на стоксовой частоте. В этом случае отражений на границах нет, а граничные условия таковы:

$$F(0, t) = \sqrt{W(t)}, \quad F_s(0, t) = \sqrt{W_s(t)}.$$

Уравнения для классических полей представим в виде

$$\frac{\partial F}{\partial t} + v_g \frac{\partial F}{\partial z} = -\gamma F - g_s |F_s|^2 F, \tag{16}$$

$$\frac{\partial F_s}{\partial t} + v_{gs} \frac{\partial F_s}{\partial z} = -\gamma_s \hat{F} + g |F|^2 F_s,$$

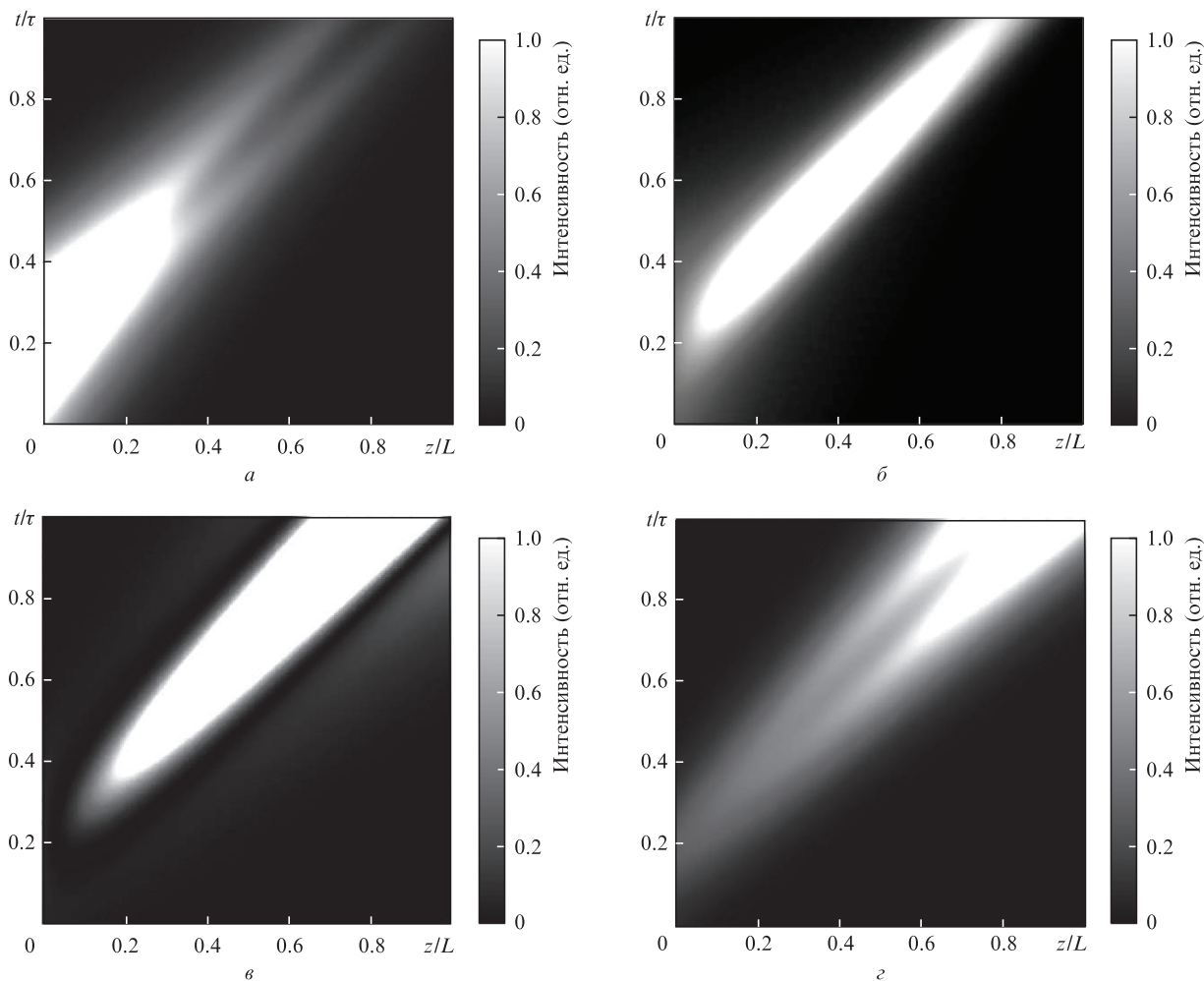


Рис. 1. Зависимости интенсивностей волны накачки (а), стоксовой волны (б), а также функций $|\mathcal{F}_f(z/L, t/\tau)|^2$ (в) и $|\mathcal{F}_s(z/L, t/\tau)|^2$ (г) от времени и координаты при $g = 0.6$ км $^{-1} \cdot$ Вт $^{-1}$, $g_s = 0.553$ км $^{-1} \cdot$ Вт $^{-1}$, нормированных мощностях волны накачки и стоксовой волны $W(t/\tau) = \text{sech}(t/\tau)$ и $W_s(t/\tau) = 0.1 \text{sech}(t/\tau)$, $\gamma = 0.055$ км $^{-1}$, $\gamma_s = 0.046$ км $^{-1}$, $L = 22.5$ км.

уравнения для \hat{f}, \hat{f}_s – в виде

$$\frac{\partial \hat{f}}{\partial t} = -v_g \frac{\partial \hat{f}}{\partial z} - \gamma \hat{f} - g_s |F_s|^2 \hat{f} - g_s F F_s^* \hat{f}_s - g_s F F_s \hat{f}_s^\dagger, \tag{17}$$

$$\frac{\partial \hat{f}_s}{\partial t} = -v_{gs} \frac{\partial \hat{f}_s}{\partial z} - \gamma \hat{f}_s + g |F|^2 \hat{f}_s - g F_s F^* \hat{f} + g F_s F \hat{f}^\dagger,$$

а уравнения для $\mathcal{F}_f, \mathcal{F}_s$ – в виде

$$\frac{\partial \mathcal{F}_f}{\partial t} = v_g \frac{\partial \mathcal{F}_f}{\partial z} - \gamma \mathcal{F}_f - g_s |F_s|^2 \mathcal{F}_f - g_s F F_s^* \mathcal{F}_s + g_s F F_s \mathcal{F}_s^*, \tag{18}$$

$$\frac{\partial \mathcal{F}_s}{\partial t} = v_{gs} \frac{\partial \mathcal{F}_s}{\partial z} - \gamma \mathcal{F}_s + g |F|^2 \mathcal{F}_s + g F_s F^* \mathcal{F}_f - g F_s F \mathcal{F}_f^*.$$

В качестве начальных условий для (18) выберем условия $\mathcal{F}_f(z, T) = F(z, T)$, $\mathcal{F}_s = F_s(z, T)$ и численно определим зависимости $\mathcal{F}_f(z, t)$ и $\mathcal{F}_s(z, t)$.

На рис.1 показаны пространственно-временные зависимости интенсивностей волны накачки, стоксовой волны, а также функций $|\mathcal{F}_f(z/L, t/\tau)|^2$ и $|\mathcal{F}_s(z/L, t/\tau)|^2$, где τ – длительность импульса накачки. Видно, что появление стока импульса приводит к истощению накачки, что выражается в возникновении провала на хвосте импульса накачки.

На рис.2 приведены зависимости от времени уровня квантовых флуктуаций волны накачки и стоксовой волны по отношению к начальному уровню флуктуаций на входе в волокно в предположении, что поля на входе находятся в когерентном состоянии. Видно, что на расстояниях, соответствующих времени пробега 0.2τ , стоксова волна имеет уровень квантовых флуктуаций примерно на 3 дБ меньше, чем на входе. При дальнейшем увеличении времени пробега уровень флуктуаций восстанавливается и продолжает расти, достигая уровня, на 3 дБ превышающего уровень начальных флуктуаций, на расстоянии, соответствующем времени пробега 0.35τ . Это означает, что существует оптимальная длина ВКР-усилителя. Появление минимума уровня квантовых флуктуаций можно объяснить тем, что уровень шума увеличивается пропорционально числу фотонов. Относительные флуктуации уменьшаются с ростом числа фотонов, поэтому при истощении накачки уровень квантовых флуктуаций возрастает,

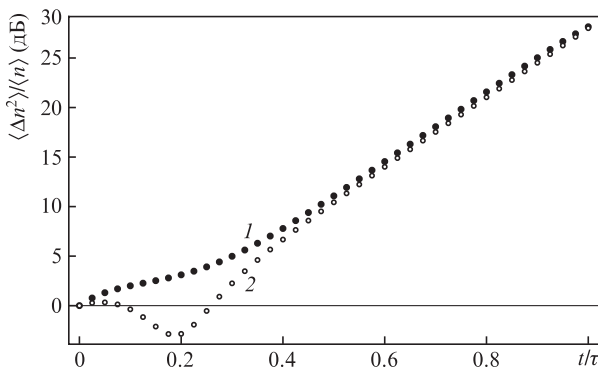


Рис.2. Зависимости уровня флуктуаций накачки $\langle \Delta n^2 \rangle / \langle n \rangle$ (1) и стоксовых волн (2) от времени.

ет, что и показано на рис.2. С увеличением числа фотонов в стоксовой волне относительные флуктуации числа квантов уменьшаются, а затем начинают возрастать из-за роста уровня флуктуаций волны накачки. Эти результаты качественно соответствуют результатам работы [28], в которой квантовые флуктуации рассчитывались другими методами.

5. Заключение

В настоящей работе представлены результаты численного моделирования нелинейной динамики излучения в волоконных ВКР-лазерах и особенностей проявления неустойчивостей режима ВКР-генерации. Применение при численном моделировании приемов, используемых в теории переноса, позволило предложить и реализовать эффективный численный алгоритм, дающий возможность проследивать динамику лазерной система на больших временах, соответствующих десяткам и сотням тысяч проходов по резонатору.

Результаты, касающиеся применений длинных кольцевых ВКР-лазеров, получены при частичном финансировании из средств проекта 9.2108.2017/ПЧ, выполняемого по заданию Министерства образования и науки РФ. Исследования квантовых флуктуаций в ВКР-усилителях/ВКР-лазерах проведены при поддержке РФФИ (грант №17-12-01564).

1. Agrawal G.P. *Nonlinear Fiber Optics* (Waltham: Academic Press, 2013).
2. Jhonson R.V., Marburger J.H. *Phys. Rev. A*, **4**, 1175 (1971).
3. Bar-Joseph I. *J. Opt. Soc. Am. B*, **2**, 1606 (1985).
4. Narum P. *J. Opt. Soc. Am. B*, **5**, 623 (1988).
5. Мельников Л.А., Мажирина Ю.А. *Квантовая электроника*, **47**, 1083 (2017) [*Quantum Electron.*, **47**, 1083 (2017)].
6. Ania-Castañón J.D. et al. *Phys. Rev. Lett.*, **101**, 123903 (2008).
7. Melnikov L.A. et al. *Proc. Symposium Gyro Technology* (Karlsruhe, Germany, 2011, Vol. 8, p.7).
8. Desurvire E., Kim B., Fesler K., Shaw H. *J. Lightwave Technol.*, **47**, 481 (1988).
9. Churkin D.V. et al. *Nat. Commun.*, **6**, 6214 (2015).
10. Churkin D.V. et al. *Nat. Commun.*, **6**, 7004 (2015).
11. Turitsyna E.G. et al. *Nat. Photonics*, **7**, 783 (2013).
12. Aragoneses A. et al. *Phys. Rev. Lett.*, **116**, 033902 (2016).
13. Мажирина Ю.А. и др. *Изв. вузов. Сер. Прикладная нелинейная динамика*, **22**, 73 (2014).
14. Perego A.M. et al. *Phys. Rev. Lett.*, **116**, 028701 (2016).
15. Tarasov N. et al. *Nat. Commun.*, **7**, 12441 (2016).
16. Konukhov A.I. et al. *Laser Phys.*, **12**, 055103 (2015).
17. Conforti M. et al. *Phys. Rev. Lett.*, **116**, 028701 (2016).
18. Courant R., Isaacson E., Rees M. *Commun. Pure Appl. Math.*, **5**, 243 (1952).
19. Лав Дж., Снайдер А. *Теория оптических волноводов* (М.: Радио и связь, 1987).
20. Scully M.O., Sargent M. III, Lamb W.E. *Laser Physics* (Deading, Mass.: Addison-Wesley, 1974).
21. Lai Y., Yu S.-S. *Phys. Rev. A*, **51**, 817 (1995).
22. Lai Y., Haus H.A. *Phys. Rev. A*, **40**, 844 (1989).
23. Mecozzi A., Kumar P. *Opt. Lett.*, **22** (16), 1232 (1997).
24. Matsko A.B., Kozlov V.V. *Phys. Rev. A*, **62**, 033811 (2000).
25. Lee R.-K., Lai Y., Malomed B.A. *Phys. Rev. A*, **70** (6), 063817 (2004).
26. Lee R.-K., Lai Y., Malomed B.A. *Phys. Rev. A*, **71** (1), 013816 (2005).
27. Haus H., Islam M. *IEEE J. Quantum Electron.*, **21** (8), 1172 (1985).
28. Miranowicz A., Kielich A., in *Advances in Chemical Physics* (New York: Wiley, 1994, Vol. 85 (III), pp 531 – 626).